

# 有限要素에 의한 誘電體 解析

張 宰 成

## Finite Element Analysis of Dielectric

Jang Jae-sung

### Summary

Finite element method provides a powerful numerical technique for solving potential problem. Admittance matrix appears in partial fraction form with geometric data separated from frequency, leading to inexpensive computations where recalculations at various frequencies is required.

依해 求한 Bianco의 結果와 比較하였다.

### 緒 言

有限要素法(Finite Element Method: FEM)은 1950년에 構造工學 分野에서부터 使用되기 시작 하였는데 複雜한 幾何學的 工學問題를 다루는데 F.D.M.보다 有利한 點이 많아 모든 工學分野에 應用되고 있다. 特히 FEM은 連續系를 等價인 離散系로 變化할 수 있으므로, 여러 周波數에 對해 各各의 積分方程式을 求해야 하는 번거로움을 피할 수 있다.

1970年初부터 P.Silvester와 M.V.K.Chari가 FEM에 依한 電磁場 計算方法을 提示하였고, 그 후로 Riddella, Okoshi와 같은 사람들이 電氣工學 分野에 關連된 여러가지 問題들에 對해 研究해 왔으며, 現在는 여러가지 電氣器機의 設計에도 應用되고 있다.

本 論文에서는 連續系를 離散化한 다음 補間函數를 利用하여 System方程式을 誘導하고, 이 System方程式을 解析하기 위한 프로그램을 만들었다. 그리고 任意의 誘電體에 適用하여 電位를 求하고, 積分方程式에

### 1. FEM의 適用

Poisson方程式으로 부터 靜電磁場 方程式은 다음과 같다.

$$\nabla^2 \phi = Q \dots\dots\dots (1)$$

(1)式을 직접 積分하여 境界條件이 滿足되도록 積分常數를 定하는 解析的 方法은 境界의 幾何學的 모양이 複雜할 경우 積分常數를 求하기가 매우 어렵게 된다. 이것을 解決하기 위해 變分원리를 利用한다.

任意의 범함수(functional)를 다음과 같다고 하자.

$$J = \iint_R f(\phi, \phi_x, \phi_y, x, y) dx dy \dots\dots (2)$$

여기서  $\phi = \phi(x, y)$ 이고  $\phi_x = \frac{\partial \phi}{\partial x}$ ,  $\phi_y = \frac{\partial \phi}{\partial y}$  이다.

即 2次元만 다룬다. 그리고 범함수 J의 變分을 취하여 0으로 놓으면 다음과 같은 式이 된다.

$$\begin{aligned} \delta J &= \iint_R \left( \frac{\partial f}{\partial \phi} \delta \phi + \frac{\partial f}{\partial \phi_x} \delta \phi_x + \frac{\partial f}{\partial \phi_y} \delta \phi_y \right) dx dy \\ &= \iint_R \left( \frac{\partial f}{\partial \phi} - \frac{\partial}{\partial x} \frac{\partial f}{\partial \phi_x} - \frac{\partial}{\partial y} \frac{\partial f}{\partial \phi_y} \right) \delta \phi dx dy \\ &= \iint_R \left( \frac{\partial f}{\partial \phi_x} \frac{\partial x}{\partial n} + \frac{\partial f}{\partial \phi_y} \frac{\partial y}{\partial n} \right) \delta \phi dx dy = 0 \end{aligned} \quad (3)$$

여기서  $n$ 은 境界에서 外部로 向하는 normal component 이다. 그러므로 Stationary 條件은 다음과 같다.

$$\frac{\partial}{\partial x} \frac{\partial f}{\partial \phi_x} + \frac{\partial}{\partial y} \frac{\partial f}{\partial \phi_y} = \frac{\partial f}{\partial \phi} \quad (4)$$

(4)式은 Euler-Lagaranger 方程式이며, natural 境界條件式은 다음과 같다.

$$\frac{\partial f}{\partial \phi_x} \frac{\partial x}{\partial n} + \frac{\partial f}{\partial \phi_y} \frac{\partial y}{\partial n} = 0 \quad (5)$$

또한 forced 境界條件式은 다음과 같다.

$$\delta \phi = 0 \quad (6)$$

그리고 (1)式에  $\delta \phi$ 를 곱하여 積分하면 다음과 같은 式을 求할 수 있다.

$$\begin{aligned} \iint_R \nabla \cdot (\delta \phi \nabla \phi) dx dy - \iint_R \nabla (\delta \phi) \cdot \nabla \phi dx dy - \\ \iint_R \delta \phi Q dx dy = 0 \end{aligned} \quad (7)$$

(7)式에 Green 定理를 適用하면 다음과 같이 된다.

$$\begin{aligned} \iint_R \hat{n} \cdot \delta \phi \nabla \phi dx dy - \iint_R \nabla (\delta \phi) \cdot \nabla \phi dx dy - \\ \iint_R \delta \phi Q dx dy = 0 \end{aligned} \quad (8)$$

여기서  $\hat{n}$ 은 境界  $\Gamma$ 에 垂直인 單位 벡터이다. 그런데 境界  $\Gamma$ 에서는 다음과 같이 되므로

$$\iint_R \hat{n} \cdot \delta \phi \nabla \phi dx dy = 0 \quad (9)$$

(8)式은 다음과 같이 簡單히 된다.

$$\delta \iint_R \left[ \frac{1}{2} (\nabla \phi)^2 - \phi Q \right] dx dy = 0 \quad (10)$$

또한  $\delta J = 0$ 가 되어야 하므로 범함수  $J$ 는 다음과 같이 된다.

$$J = \iint_R \left[ \frac{1}{2} (\nabla \phi)^2 - \phi Q \right] dx dy \quad (11)$$

$$f = \frac{1}{2} (\nabla \phi)^2 - \phi Q \quad (12)$$

(11)式은 求하려는 범함수이며, 極値를 갖는  $\phi$ 가 (1)式의 解가 된다. 이 解를 求하기 위해 Ritz의 方法을 쓰면  $\phi$ 는 다음과 같다.

$$\begin{aligned} \phi(x, y) \approx C_1 \phi_1(x, y) + C_2 \phi_2(x, y) + \dots + \\ C_n \phi_n(x, y) \end{aligned} \quad (13)$$

(13)式을 (11)式에 代入하면 다음과 같고,

$$J = J(C_1, C_2, \dots, C_n) \quad (14)$$

$J$ 가 最小値를 갖는  $C_i$ 는 다음과 같다.

$$\frac{\partial J}{\partial C_i} = 0, \quad i = 1, 2, \dots, n. \quad (15)$$

FEM을 利用하기 위해 領域  $R$ 을 여러개의 삼각형으로 分割하고, 그중  $r$ 번째 要素를 생각하면, 꼭지점에서의 電位가  $\phi_1, \phi_m, \phi_n$ 이라고하고, 이 要素內에서의 任意의 한점에서의 電位  $\phi^r$ 는 다음과 같다.

$$\phi^r = \phi^r(\phi_1, \phi_m, \phi_n, x, y) \quad (16)$$

또한 범함수는 다음과 같이 된다.

$$J^r = \iint_r \left[ \frac{1}{2} (\nabla \phi^r)^2 - Q^r \phi^r \right] dx dy \quad (17)$$

그러므로 (17)式은 다음과 같이 되고

$$J^r = J^r(\phi_1, \phi_m, \phi_n) \quad (18)$$

全領域에 對한 범함수는 다음과 같이 된다.

$$J = J(\phi_1, \phi_2, \dots, \phi_1, \phi_m, \phi_n, \dots, \phi_z) \quad (19)$$

그리고 (19)式이 最小가 되는  $\phi_i$ 는 다음과 같다.

$$\frac{\partial J}{\partial \phi_i} = 0, \quad i = 1, 2, \dots, z \quad (20)$$

그러므로 다음과 같은 System 方程式을 誘導할 수 있다.

$$\begin{bmatrix} a_{ij} \end{bmatrix} \begin{bmatrix} \phi_1 \\ \phi_2 \\ \vdots \\ \phi_z \end{bmatrix} = \begin{bmatrix} b_i \end{bmatrix} \quad (21)$$

## 2. System 方程式의 解

System方程式의 解를 求하기 위해서는 먼저 要素方程式을 求하고 삼각화법을 適用해야 한다.  $\phi$ 는 補間函數를 利用하면 다음과 같은 式이 된다.

$$\phi = \frac{(a_1+b_1x+C_1y)}{2\Delta} \phi_1 + \frac{(a_m+b_mx+C_my)}{2\Delta} \phi_m + \frac{(a_n+b_nx+C_ny)}{2\Delta} \phi_n \dots\dots\dots (22)$$

여기서  $\Delta$ 는 다음과 같은 行列이며, 電位  $\phi$ 는 다음과 같다.

$$\phi = \alpha + \beta x + \gamma y \dots\dots\dots (23)$$

$$\begin{bmatrix} \phi_1 \\ \phi_m \\ \phi_n \end{bmatrix} = \begin{bmatrix} 1 & x_1 & y_1 \\ 1 & x_m & y_m \\ 1 & x_n & y_n \end{bmatrix} \begin{bmatrix} \alpha \\ \beta \\ \gamma \end{bmatrix} \dots\dots\dots (24)$$

$$\Delta = \frac{1}{2} \begin{vmatrix} 1 & x_1 & y_1 \\ 1 & x_m & y_m \\ 1 & x_n & y_n \end{vmatrix} \dots\dots\dots (25)$$

(22)式에 (23)式을 代入 하면

$$\begin{aligned} J^r &= J^r(\phi_1, \phi_m, \phi_n) = \iint_r \left[ \frac{1}{2} \left( \left( \frac{\partial \phi}{\partial x} \right)^2 + \left( \frac{\partial \phi}{\partial y} \right)^2 \right) - \right. \\ & Q^r \phi \Big] dx dy = \iint_r \left[ \frac{1}{2} \left[ \left( \frac{b_1 \phi_1 + b_m \phi_m + b_n \phi_n}{2\Delta} \right)^2 + \right. \right. \\ & \left. \left. \left( \frac{C_1 \phi_1 + C_m \phi_m + C_n \phi_n}{2\Delta} \right)^2 \right] - Q^r \left[ \frac{a_1 + b_1 x + C_1 y}{2\Delta} \phi_1 \right. \right. \\ & \left. \left. + \frac{a_m + b_m x + C_m y}{2\Delta} \phi_m + \frac{a_n + b_n x + C_n y}{2\Delta} \phi_n \right] \right] \\ & dx dy \dots\dots\dots (26) \end{aligned}$$

이 되고, 범함수의 微分은 다음과 같다.

$$\frac{\partial J^r}{\partial \phi_1} = \frac{b_1 \phi_1 + b_m \phi_m + b_n \phi_n}{4\Delta} b_1 + \frac{C_1 \phi_1 + C_m \phi_m + C_n \phi_n}{4\Delta} C_1 - \frac{Q^r \Delta^r}{3} \dots\dots\dots (27)$$

$$\frac{\partial J^r}{\partial \phi_m} = \frac{b_1 \phi_1 + b_m \phi_m + b_n \phi_n}{4\Delta} b_m + \frac{C_1 \phi_1 + C_m \phi_m + C_n \phi_n}{4\Delta} C_m \dots\dots\dots$$

$$- \frac{Q^r \Delta^r}{3} \dots\dots\dots (28)$$

$$\frac{\partial J^r}{\partial \phi_n} = \frac{b_1 \phi_1 + b_m \phi_m + b_n \phi_n}{4\Delta} b_n + \frac{C_1 \phi_1 + C_m \phi_m + C_n \phi_n}{4\Delta} C_n \dots\dots\dots$$

$$- \frac{Q^r \Delta^r}{3} \dots\dots\dots (29)$$

極値를 갖기 위해서는 (27),(28),(29)式이 모두 0 이므로 다음과 같은 行列로 表現할 수 있다.

$$A^r \phi^r = B^r \dots\dots\dots (30)$$

여기서  $A^r, \phi^r, B^r$ 은 다음과 같은 行列이다.

$$A^r = \begin{bmatrix} b_1^2 + C_1^2 & b_1 b_m + C_1 C_m & b_1 b_n + C_1 C_n \\ b_m b_1 + C_m C_1 & b_m^2 + C_m^2 & b_m b_n + C_m C_n \\ b_n b_1 + C_n C_1 & b_n b_m + C_n C_m & b_n^2 + C_n^2 \end{bmatrix} \cdot \frac{1}{4\Delta^r} \dots\dots\dots (31)$$

$$\phi^r = \begin{bmatrix} \phi_1 \\ \phi_m \\ \phi_n \end{bmatrix}, \quad B^r = \begin{bmatrix} 1 \\ 1 \\ 1 \end{bmatrix} \cdot \frac{Q^r \Delta^r}{3}$$

(30)式은 要素 方程式이다.

그리고 (26)와 (27)式으로 부터 다음과 같이 된다.

$$\begin{aligned} \frac{\partial J}{\partial \phi_k} &= \frac{\partial}{\partial \phi_k} (J^r + J^s + J^T) = \frac{\partial}{\partial \phi_k} J^r(\phi_1, \phi_m, \phi_n) \\ &+ \frac{\partial}{\partial \phi_k} J^s(\phi_k, \phi_1, \phi_n) + \frac{\partial}{\partial \phi_k} J^T(\phi_k, \phi_m, \phi_1) \dots\dots\dots (32) \end{aligned}$$

여기서 r, s, T는 3個의 要素이다.

(32)式을 (10)式에 代入하면

$$\begin{aligned} \frac{\partial J}{\partial \phi_k} &= a_{11}^r \phi_k + a_{21}^r \phi_1 + a_{31}^r \phi_n - b_1^r + a_{11}^T \phi_k + \\ & a_{12}^T \phi_m + a_{13}^T \phi_n - b_1^T = 0 \dots\dots\dots (33) \end{aligned}$$

이 되고, 범함수의 다른 微分은 0 이 된다.

$$\frac{\partial J}{\partial \phi_1} = 0, \quad \frac{\partial J}{\partial \phi_m} = 0, \quad \frac{\partial J}{\partial \phi_n} = 0 \dots\dots\dots (34)$$

(33)과 (34)式을 行列로 表現하면

$$A \phi = B \dots\dots\dots (35)$$



未知 node, 卽 圓內部에서의 電位를 求한 것이며, 表 (2)는 各 要素와 node의 關係 및, 各 要素에서의 誘電 率을 나타냈다. 컴퓨터의 計算 時間은 3分이 걸렸으

나, 要素數를 많이 하면 더 時間이 걸릴 것이다. 使用 言語는 BASIC이며, 컴퓨터의 기종은 APPLE II PLUS 로 使用했다.

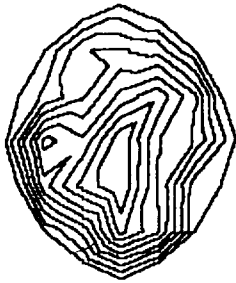
Table 1. Calculation values

# TOTAL NODE = 37 # UNKNOWN NODE = 21 # ELEMENT = 56 # FREQUENCY = 200000				
NO.	X	Y	POTENTIAL	
			REAL	IMAGINARY
1	0.000000E+00	0.000000E+00	3.5293E-01	3.5293E-01
2	3.300000E-07	0.000000E+00	6.3103E-01	6.3103E-01
3	6.600000E-07	0.000000E+00	7.1772E-01	7.1772E-01
4	6.600000E-07	3.300000E-07	7.0481E-01	7.0481E-01
5	3.300000E-07	3.300000E-07	5.1062E-01	5.1062E-01
6	0.000000E+00	3.300000E-07	6.0881E-01	6.0881E-01
7	3.300000E-07	6.600000E-07	8.0447E-01	8.0447E-01
8	0.000000E+00	6.600000E-07	7.7401E-01	7.7401E-01
9	-3.300000E-07	6.600000E-07	7.8354E-01	7.8354E-01
10	-6.600000E-07	3.300000E-07	9.0790E-01	9.0790E-01
11	-3.300000E-07	3.300000E-07	7.9769E-01	7.9769E-01
12	-6.600000E-07	0.000000E+00	5.3743E-01	5.3743E-01
13	-3.300000E-07	0.000000E+00	6.2178E-01	6.2178E-01
14	-6.600000E-07	-3.300000E-07	6.6357E-01	6.6357E-01
15	-3.300000E-07	-3.300000E-07	4.6743E-01	4.6743E-01
16	0.000000E+00	-3.300000E-07	3.4364E-01	3.4364E-01
17	3.300000E-07	-3.300000E-07	6.4392E-01	6.4392E-01
18	6.600000E-07	-3.300000E-07	9.7489E-01	9.7489E-01
19	3.300000E-07	-6.600000E-07	6.2610E-01	6.2610E-01
20	0.000000E+00	-6.600000E-07	4.6449E-01	4.6449E-01
21	-3.300000E-07	-6.600000E-07	8.2508E-01	8.2508E-01
22	0.000000E+00	-1.000000E-06	1.0000E+00	1.0000E+00
23	3.300000E-07	-8.800000E-07	1.0000E+00	1.0000E+00
24	6.600000E-07	-6.600000E-07	1.0000E+00	1.0000E+00
25	8.800000E-07	-3.300000E-07	1.0000E+00	1.0000E+00
26	1.000000E-06	0.000000E+00	1.0000E+00	1.0000E+00
27	8.800000E-07	3.300000E-07	1.0000E+00	1.0000E+00
28	6.600000E-07	6.600000E-07	1.0000E+00	1.0000E+00
29	3.300000E-07	8.800000E-07	1.0000E+00	1.0000E+00
30	0.000000E+00	1.000000E-06	1.0000E+00	1.0000E+00
31	-3.300000E-07	8.800000E-07	1.0000E+00	1.0000E+00
32	-6.600000E-07	6.600000E-07	1.0000E+00	1.0000E+00
33	-8.800000E-07	3.300000E-07	1.0000E+00	1.0000E+00
34	-1.000000E-06	0.000000E+00	1.0000E+00	1.0000E+00
35	-8.800000E-07	-3.300000E-07	1.0000E+00	1.0000E+00
36	-6.600000E-07	-6.600000E-07	1.0000E+00	1.0000E+00
37	-3.300000E-07	-8.800000E-07	1.0000E+00	1.0000E+00

Table 2. Element, node and property

NO.	* ELEMENT			PROPERTY	CONDUCTIVITY	DENSITY	
	1ST	2ND	3RD			REAL	IMAGINARY
1	1	5	6	2.04	0.0000E+00	0.0000E+00	0.0000E+00
2	1	2	5	2.04	0.0000E+00	0.0000E+00	0.0000E+00
3	2	4	5	2.04	0.0000E+00	0.0000E+00	0.0000E+00
4	2	3	4	2.04	0.0000E+00	0.0000E+00	0.0000E+00
5	3	4	27	2.04	0.0000E+00	0.0000E+00	0.0000E+00
6	3	26	27	2.04	0.0000E+00	0.0000E+00	0.0000E+00
7	6	7	8	2.04	0.0000E+00	0.0000E+00	0.0000E+00
8	5	6	7	2.04	0.0000E+00	0.0000E+00	0.0000E+00
9	5	7	28	2.04	0.0000E+00	0.0000E+00	0.0000E+00
10	4	5	28	2.04	0.0000E+00	0.0000E+00	0.0000E+00
11	4	27	28	2.04	0.0000E+00	0.0000E+00	0.0000E+00
12	8	29	30	2.04	0.0000E+00	0.0000E+00	0.0000E+00
13	7	8	29	2.04	0.0000E+00	0.0000E+00	0.0000E+00
14	7	28	29	2.04	0.0000E+00	0.0000E+00	0.0000E+00
15	1	6	13	2.04	0.0000E+00	0.0000E+00	0.0000E+00
16	6	11	13	2.04	0.0000E+00	0.0000E+00	0.0000E+00
17	11	12	13	2.04	0.0000E+00	0.0000E+00	0.0000E+00
18	10	11	12	2.04	0.0000E+00	0.0000E+00	0.0000E+00
19	10	12	34	2.04	0.0000E+00	0.0000E+00	0.0000E+00
20	10	33	34	2.04	0.0000E+00	0.0000E+00	0.0000E+00
21	6	8	11	2.04	0.0000E+00	0.0000E+00	0.0000E+00
22	8	9	11	2.04	0.0000E+00	0.0000E+00	0.0000E+00
23	9	10	11	2.04	0.0000E+00	0.0000E+00	0.0000E+00
24	9	10	32	2.04	0.0000E+00	0.0000E+00	0.0000E+00
25	10	32	33	2.04	0.0000E+00	0.0000E+00	0.0000E+00
26	8	9	30	2.04	0.0000E+00	0.0000E+00	0.0000E+00
27	9	30	31	2.04	0.0000E+00	0.0000E+00	0.0000E+00
28	9	31	32	2.04	0.0000E+00	0.0000E+00	0.0000E+00
29	1	2	16	2.53	0.0000E+00	0.0000E+00	0.0000E+00
30	2	16	17	2.53	0.0000E+00	0.0000E+00	0.0000E+00
31	2	3	17	2.53	0.0000E+00	0.0000E+00	0.0000E+00
32	3	17	18	2.53	0.0000E+00	0.0000E+00	0.0000E+00
33	3	18	26	2.53	0.0000E+00	0.0000E+00	0.0000E+00
34	18	25	26	2.53	0.0000E+00	0.0000E+00	0.0000E+00
35	16	17	20	2.53	0.0000E+00	0.0000E+00	0.0000E+00
36	17	19	20	2.53	0.0000E+00	0.0000E+00	0.0000E+00
37	17	18	19	2.53	0.0000E+00	0.0000E+00	0.0000E+00
38	18	19	24	2.53	0.0000E+00	0.0000E+00	0.0000E+00
39	18	24	25	2.53	0.0000E+00	0.0000E+00	0.0000E+00
40	19	20	22	2.53	0.0000E+00	0.0000E+00	0.0000E+00

41	19	22	23	2.53	0.0000E+00	0.0000E+00	0.0000E+00
42	19	23	24	2.53	0.0000E+00	0.0000E+00	0.0000E+00
43	1	13	15	2.53	0.0000E+00	0.0000E+00	0.0000E+00
44	1	15	16	2.53	0.0000E+00	0.0000E+00	0.0000E+00
45	12	13	14	2.53	0.0000E+00	0.0000E+00	0.0000E+00
46	13	14	15	2.53	0.0000E+00	0.0000E+00	0.0000E+00
47	12	34	35	2.53	0.0000E+00	0.0000E+00	0.0000E+00
48	12	14	35	2.53	0.0000E+00	0.0000E+00	0.0000E+00
49	15	16	21	2.53	0.0000E+00	0.0000E+00	0.0000E+00
50	16	20	21	2.53	0.0000E+00	0.0000E+00	0.0000E+00
51	14	15	36	2.53	0.0000E+00	0.0000E+00	0.0000E+00
52	15	21	36	2.53	0.0000E+00	0.0000E+00	0.0000E+00
53	14	35	36	2.53	0.0000E+00	0.0000E+00	0.0000E+00
54	20	21	37	2.53	0.0000E+00	0.0000E+00	0.0000E+00
55	20	22	37	2.53	0.0000E+00	0.0000E+00	0.0000E+00
56	21	36	37	2.53	0.0000E+00	0.0000E+00	0.0000E+00



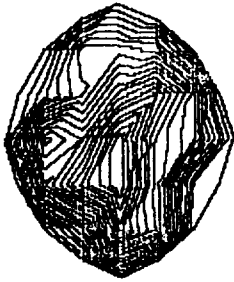
## FLUX LINES AT 90 DEGREE ##

Fig.3. Flux line : 10



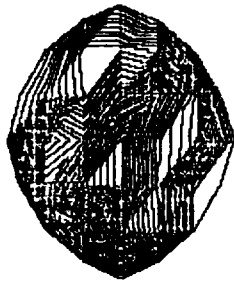
## FLUX LINES AT 60 DEGREE ##

Fig.4. Flux line : 20



## FLUX LINES AT 90 DEGREE ##

Fig.5. Flux line : 20



## FLUX LINES AT 0 DEGREE ##

Fig.6. Flux line : 30

그리고 Flux line의 Line數를 10, 20, 30으로變化시켜 얻은結果는 그림 (3), (4), (5), (6)과 같다.

### 考 察

FEM에 의하여 圓形誘電體 内部의 電位를 求한 結果와 積分方程式에 의해 求한 Bianco의 結果를 比較하면 약 2%의 差異가 있으나, 要素의 數를 많이하고, 圓周圈의 삼각형을 좀 더 작게 分割하면, 이러한 誤差는 解決된다.

그리고 퍼스컴을 使用하여 컴퓨터 記憶容量의 限界가 있으나, 小形컴퓨터의 發展速度로 보아, 머지않은 將來에 解決 될 것이다.

### 摘 要

本 論文에서는 FEM에 의해 誘電體 内部의 電位를 計算하고, Flux line을 그렸다. 이러한 FEM解析은 幾何學的으로 複雜한 形態에도 適用할 수 있고, 또한 積分 方程式에 의한 解析의 短點도 解決할 수 있으므로, MIC의 設計에도 應用할 수 있을 것이다.

## 引 用 文 獻

- 1) D. Hondios and P. Debye, "Elektromagnetische Wellen an dielektrischen Drahten," Ann. d. Phys., vol. 32, P. 465. June 1910.
- 2) D. Gloge, Ed., Optical Fiber Technology, New York: IEEE Press, 1975.
- 3) E. Yamashita, K. Atsuki, O. Hashimoto, and K. Kamijo, "Modal analysis of homogeneous, Optical fibers with deformed boundaries," IEEE Trans. Microwave Theory Tech., vol. MTT-27, pp. 352-356, Apr. 1979.
- 4) J.E. GeOH, "A circular-harmonic computer analysis of rectangular dielectric waveguides," Bell Syst. Tech. J., vol. 48, pp. 2133-2160 Sept 1969.
- 5) R.M. Knox, "Dielectric Waveguide microwave integrated circuits: an overview," IEEE Trans. Microwave Theory Tech., vol. MTT-24, pp. 806-814, Nov. 1976.